

“DIGITAL CSIC” EN EL CENTRO DE FÍSICA MIGUEL A. CATALÁN

Semana Internacional de Acceso Abierto 2016

Flora Granizo. Biblioteca del CFMAC-CSIC



INTRODUCCIÓN

La biblioteca del Centro de Física Miguel A. Catalán (CFMAC) se une a la celebración de la **Semana Internacional de Acceso Abierto** (24 al 28 de Octubre) ofreciendo información sobre la posición de los Institutos del Centro en Digital CSIC .

La información se basa en los datos que ofrece la Oficina Técnica de Digital CSIC (OTDC)¹ en su página web <http://digital.csic.es/>².

La estructura del informe partirá de datos generales del total de áreas del conocimiento contempladas en el CSIC (Comunidades del Digital CSIC) para centrarnos en el área de Ciencia y Tecnologías Físicas al que pertenece nuestro Centro y finalmente acabar con los datos relativos al CFMAC y cada uno de los Institutos que lo conforman: Instituto de Estructura de la Materia (IEM), Instituto de Física Fundamental (IFF) e Instituto de Óptica “Daza de Valdés” (IO). De cada instituto se dará información de los trabajos TOP 20 más visualizados y más descargados.

[Área de Ciencia y Tecnologías Físicas](#) → [CFMAC](#) → [CFMAC-IEM](#) / [CFMAC-IFF](#) / [CFMAC-IO](#)

¹ La Oficina Técnica Digital CSIC ofrece estadísticas desde el año 2008.

² Los datos que ofrece la OTDC son dinámicos; para el presente informe han sido extraídos el día 14 de Octubre de 2016.

AREA DE CIENCIA Y TECNOLOGÍAS FÍSICAS

En los siguientes gráficos se da cuenta de las áreas científicas estipuladas en el CSIC, el número de Centros e Institutos que conforman dichas áreas, el porcentaje que ocupan en el total de áreas y un listado de Centros e Institutos del área de Ciencia y Tecnologías Físicas de la que forma parte el CFMAC.

Comunidades de Digital.CSIC	Nº Centros/Institutos
Biología y Biomedicina	24
Ciencia y Tecnología de Alimentos	9
Ciencia y Tecnología de Materiales	12
Ciencia y Tecnologías Físicas	32
Ciencia y Tecnologías Químicas	15
Ciencias Agrarias	13
Humanidades y Ciencias Sociales	21
Recursos Naturales	24
Servicios Centrales CSIC	9

Tabla 1. Áreas científicas del CSIC y número de Centros/Institutos que las integran

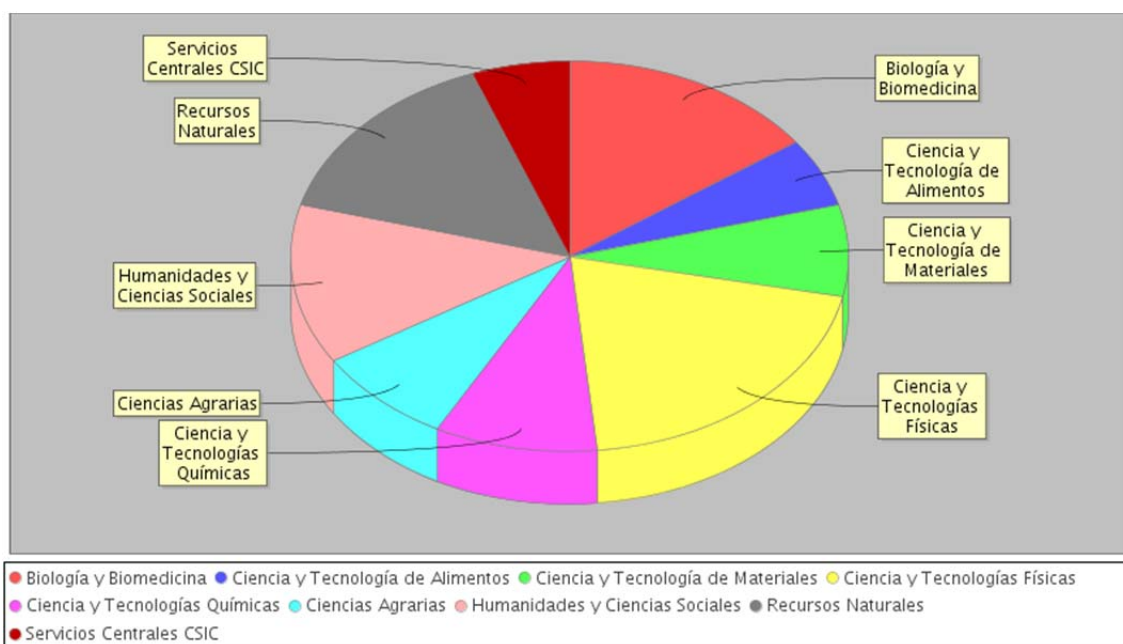


Gráfico 1. Muestra el espacio proporcional que ocupa cada área científica del CSIC en relación al número de Centros/Institutos que lo integran

Los nombres y acrónimos correspondientes de los Institutos y Centros propios del CSIC que pertenecen al área de Ciencia y Tecnología Físicas aparecen en el siguiente listado:

Nombre **Área Geográfica**

CENTRO DE ASTROBIOLOGIA (CAB)	Madrid (Comunidad de)
CENTRO DE AUTOMATICA Y ROBOTICA (CAR)	Madrid (Comunidad de)
CENTRO DE FISICA MIGUEL A. CATALAN (CFMAC)	Madrid (Comunidad de)
CENTRO DE FISICA TEORICA Y MATEMATICAS (CFTMAT)	Madrid (Comunidad de)
CENTRO NACIONAL DE ACELERADORES (CNA)	Andalucía
CENTRO NACIONAL DE MICROELECTRONICA (CNM)	Cataluña
INSTITUTO DE ASTROFISICA DE ANDALUCIA (IAA)	Andalucía
INSTITUTO DE CIENCIAS DEL ESPACIO (ICE)	Cataluña
INSTITUTO DE CIENCIAS MATEMATICAS (ICMAT)	Madrid (Comunidad de)
INSTITUTO DE ESTRUCTURA DE LA MATERIA (IEM)	Madrid (Comunidad de)
INSTITUTO DE FISICA CORPUSCULAR (IFIC)	Comunidad Valenciana
INSTITUTO DE FISICA DE CANTABRIA (IFCA)	Cantabria
INSTITUTO DE FISICA FUNDAMENTAL (IFF)	Madrid (Comunidad de)
INSTITUTO DE FISICA INTERDISCIPLINAR Y SISTEMAS COMPLEJOS (IFISC)	Illes Balears
INSTITUTO DE FISICA TEORICA (IFT)	Madrid (Comunidad de)
INSTITUTO DE INSTRUMENTACION PARA IMAGEN MOLECULAR (I3M)	Comunidad Valenciana
INSTITUTO DE INVESTIGACION EN INTELIGENCIA ARTIFICIAL (IIIA)	Cataluña
INSTITUTO DE MICROELECTRONICA DE BARCELONA (IMB-CNM)	Cataluña
INSTITUTO DE MICROELECTRONICA DE MADRID (IMM-CNM)	Madrid (Comunidad de)
INSTITUTO DE MICROELECTRONICA DE SEVILLA (IMSE.CNM)	Andalucía
INSTITUTO DE OPTICA DAZA DE VALDES (IO)	Madrid (Comunidad de)

INSTITUTO DE ROBOTICA E INFORMATICA INDUSTRIAL (IRII)	Cataluña
INSTITUTO DE TECNOLOGIAS FISICAS Y DE LA INFORMACION LEONARDO TORRES QUEVEDO (ITEFI)	Madrid (Comunidad de)
LABORATORIO DE INVESTIGACION EN FLUIDODINAMICA Y TECNOLOGIAS DE LA COMBUSTION (LIFTEC)	Aragón

Tabla 2. Listado de Centros/Institutos que conforman el área de Ciencia y Tecnologías Físicas

A los 24 Centros/Institutos citados en la lista hay que añadir 8 más que se corresponden con centros mixtos y asociados.

[**VOLVER**](#)

CFMAC

La biblioteca del CFMAC empezó a registrar trabajos en el Repositorio del CSIC en el año 2007 a través del servicio SAD (Servicio de Archivo Delegado) <https://digital.csic.es/dc/peticiones/>, encargado de describir y archivar en Digital CSIC la producción científica de los investigadores del CFMAC.

Mediante el servicio SAD se ayuda a los autores CSIC a publicar en acceso abierto, a cumplir con los mandatos de Open Access (OA)³ y a subir sus trabajos al repositorio.

La suma de los totales de registros de los Institutos que conforman el CFMAC (**5416 registros**) supone el mayor porcentaje del área de Ciencias y Tecnologías Físicas con un 32 % del total de registros del área.

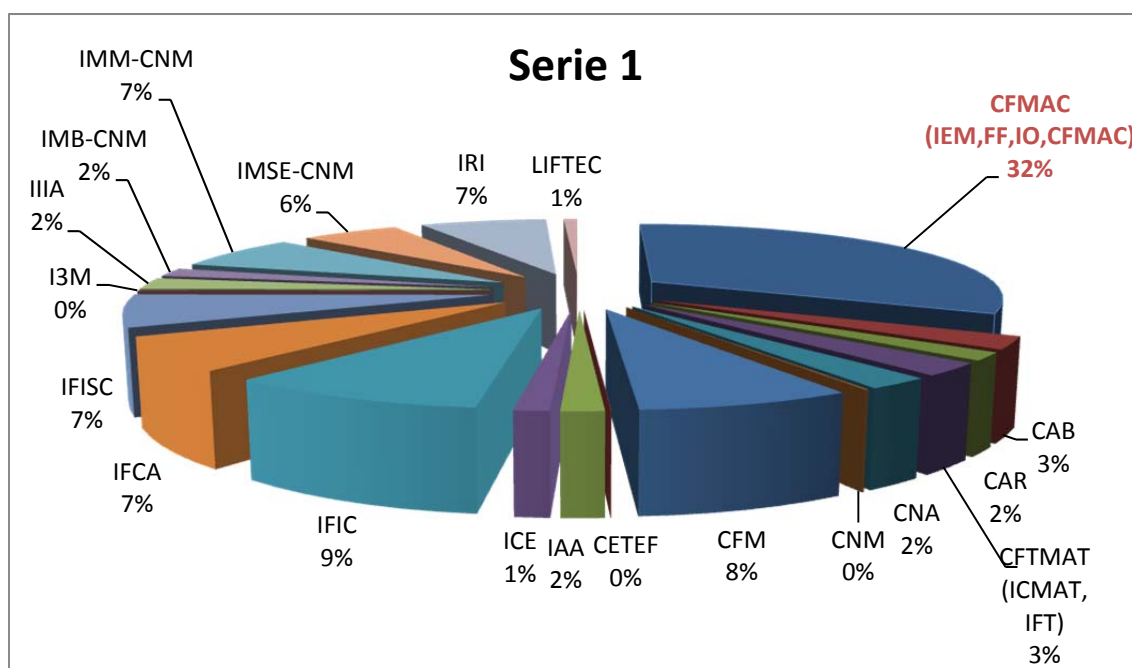


Gráfico 2. Porcentaje de registros en Digital CSIC por Centro/Instituto del área de Ciencia y Tecnologías Físicas del CSIC⁴

Subcomunidades del CFMAC en Digital CSIC:

- CFMAC-INSTITUTO DE ESTRUCTURA DE LA MATERIA (CFMAC-IEM)
- CFMAC-INSITITUTO DE FÍSICA FUNDAMENTAL (CFMAC-IFF)
- CFMAC-INSTITUTO DE ÓPTICA (CFMAC-IO)
- CFMAC-CENTRO DE FÍSICA MIGUEL A. CATALÁN (CFMAC)⁵

³ Son 21 proyectos de investigación en el CFMAC afectados por el mandato de OA en el 7PM, ERC, MINECO, Horizonte2020 y CM

⁴ Las siglas que aparecen se corresponden con los acrónimos de los Centros/Institutos citados en la tabla 2.

⁵ Por su carácter residual, esta subcomunidad sólo aparecerá en datos totales del Centro.

TOP 20 - Número de Registros por Centro/Instituto del CSIC

Las estadísticas generales que ofrece Digital CSIC, muestran un TOP 20 de registros por Centros/Institutos. El Instituto de Estructura de la Materia es el mejor posicionado, situado en el puesto 14 y el Instituto de Óptica en el puesto 18. Si a estos Institutos sumamos los registros en Digital CSIC del Instituto de Física Fundamental, pasamos a ocupar el tercer puesto del ranking con 5.416 registros.

Centros/Institutos	Nº registros
Centro de Ciencias Humanas y Sociales - Instituto de Historia (CCHS-IH)	12.625
Instituto de Ciencias del Mar (ICM)	5.644
Instituto de Recursos Naturales y Agrobiología Sevilla (IRNAS)	5.073
Estación Experimental de Aula Dei (EEAD)	4.579
Museo Nacional de Ciencias Naturales (MNCN)	3.669
Estación Biológica de Doñana (EBD)	3.583
Instituto de Investigaciones Marinas (IIM)	2.918
Institución Milá y Fontanals (IMF)	2.697
Centro de Investigaciones Biológicas (CIB)	2.672
Instituto Pirenaico de Ecología (IPE)	2.544
Instituto Mediterráneo de Estudios Avanzados (IMEDEA)	2.529
Instituto de Ciencia de Materiales de Aragón (ICMA)	2.453
Instituto de Investigaciones Biomédicas "Alberto Sols" (IIBM)	2.382
Centro de Física Miguel A. Catalán - Instituto de Estructura de la Materia (CFMAC-IEM)	2.351
Centro Nacional de Investigaciones Metalúrgicas (CENIM)	2.287
Centro de Biología Molecular Severo Ochoa (CBM)	2.195
Centro de Estudios Avanzados de Blanes (CEAB)	1.833
Centro de Física Miguel A. Catalán - Instituto de Óptica (CFMAC-IO)	1.620
Centro de Física de Materiales (CFM)	1.611

Tabla 3. Listado de los 20 Centros/Institutos que más trabajos han registrado en el Repositorio de Digital CSIC

A continuación se presentan tres gráficos que corresponden con los totales de registros en el Repositorio Digital CSIC, el porcentaje de cada Instituto y finalmente la evolución de registros depositados desde 2007 hasta la actualidad.

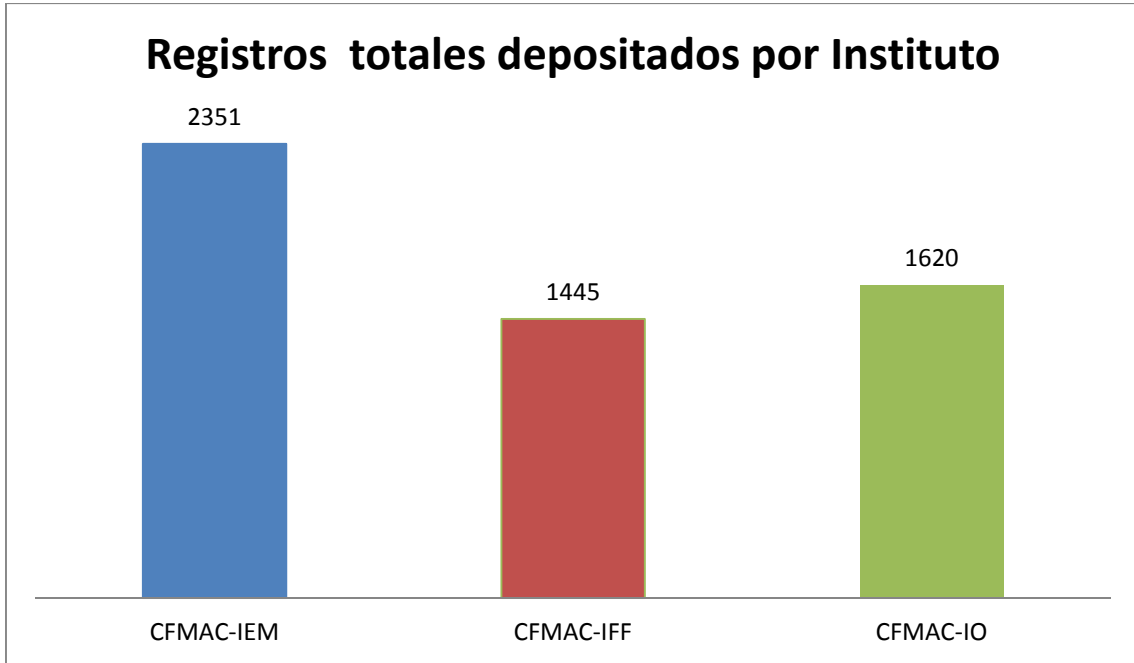


Gráfico 3. Número de registros totales de cada Instituto del CFMAC

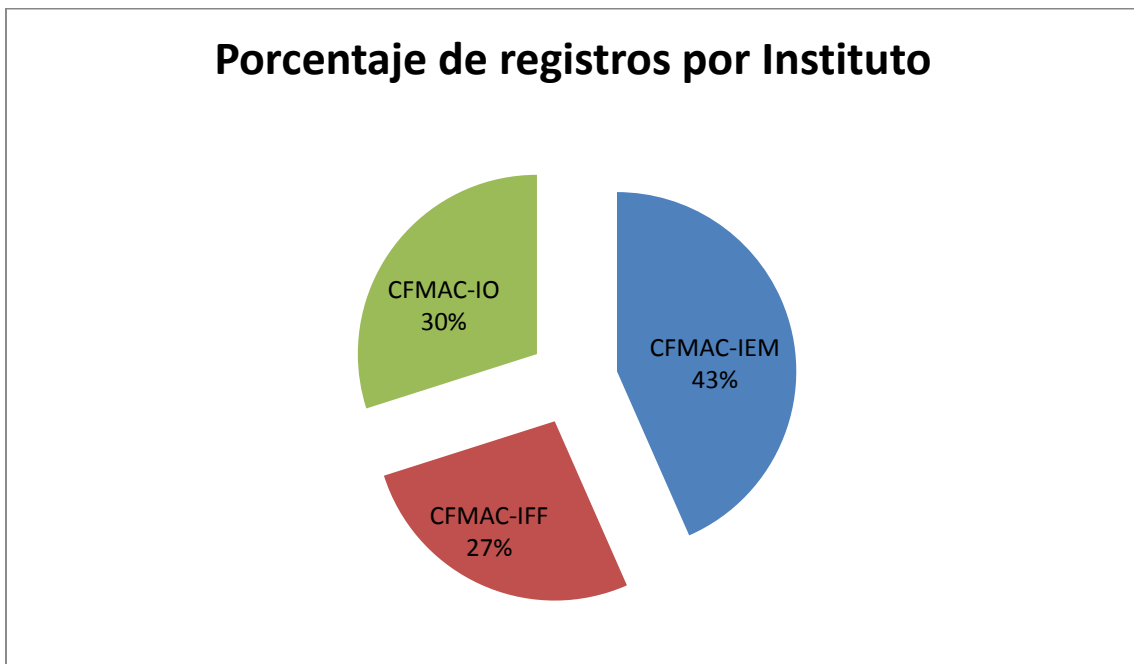


Gráfico 4. Porcentaje de registros totales de cada Instituto del CFMAC

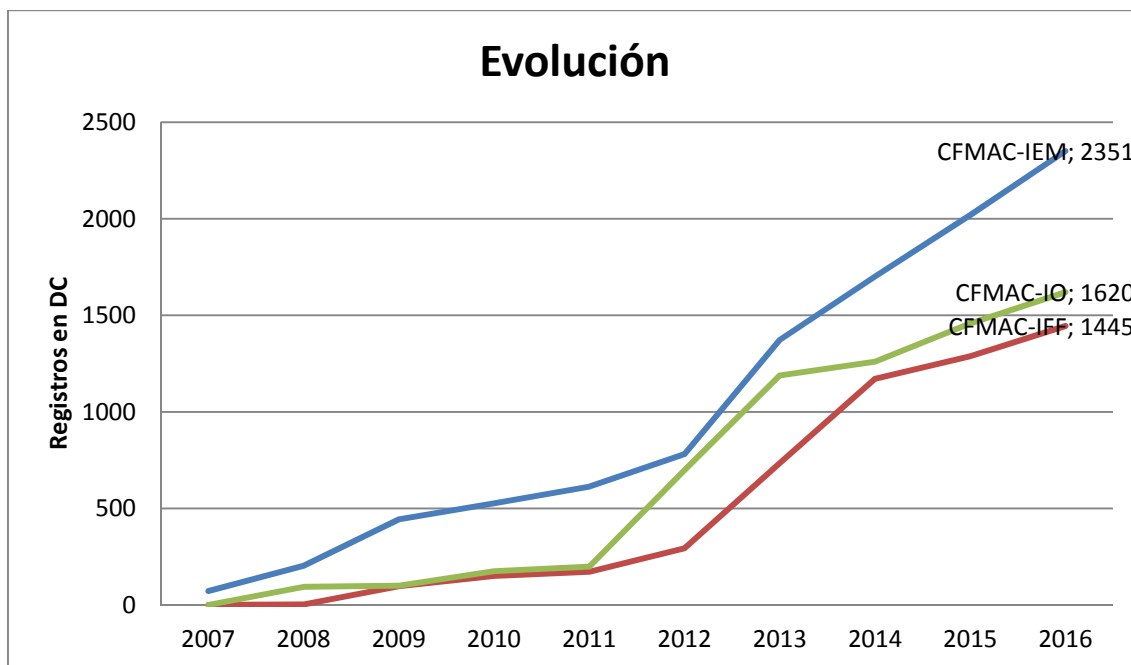


Gráfico 5. Evolución Digital.CSIC 2007/2016 de los 3 institutos del CFMAC

El gráfico presenta la actividad llevada a cabo desde la Biblioteca en la tarea de archivado de resultados de investigación en el Centro en el Repositorio de Digital CSIC desde el año 2007 hasta la actualidad. Hay periodos de mayor y menor avance que se corresponden con etapas estables y gran dedicación (2012-2013) y otras de menor actividad por actividades circunstanciales e ineludibles (2010-2011 con el traslado fondos biblioteca de matemáticas) y coyunturales como la pérdida de personal técnico en la biblioteca (2014 en adelante).

[VOLVER](#)

INSTITUTO DE ESTRUCTURA DE LA MATERIA (CFMAC-IEM): 2351 Registros

Tipología	Total
Artículo	1.467
Comunicación de congreso	297
Póster	167
Pre-print	129
Presentación	55
Capítulo de libro	31
Trabajo de divulgación	10
Patente	7
Tesis	5
Libro	5
Solicitud de patente	4
Video	2
material didáctico	2
Documento de trabajo	1

Tabla 4. Tipología documental registrada en CFMAC-IEM

Accesibilidad en Digital.CSIC de registros CFMAC-IEM⁵

Accesibilidad	Número de registros	Porcentaje
Acceso abierto	1.429	60,964%
Acceso restringido	906	38,652%
Embargado	9	0,384%

Tabla 5. Tipo de accesibilidad del total de trabajos registrados y su porcentaje en CFMAC-IEM

⁵ Desde el años 2013 la Oficina Técnica Digital CSIC ofrece estadísticas sobre los registros con acceso abierto, acceso restringido y embargado. Son de **acceso abierto** los registros que ofrecen el texto completo; **restringidos** aquellos que no lo ofrecen y **embargados** aquellos que temporalmente no permiten la visualización del texto. El periodo de embargo lo establece la editorial. Esta nota es válida para el resto de Institutos.

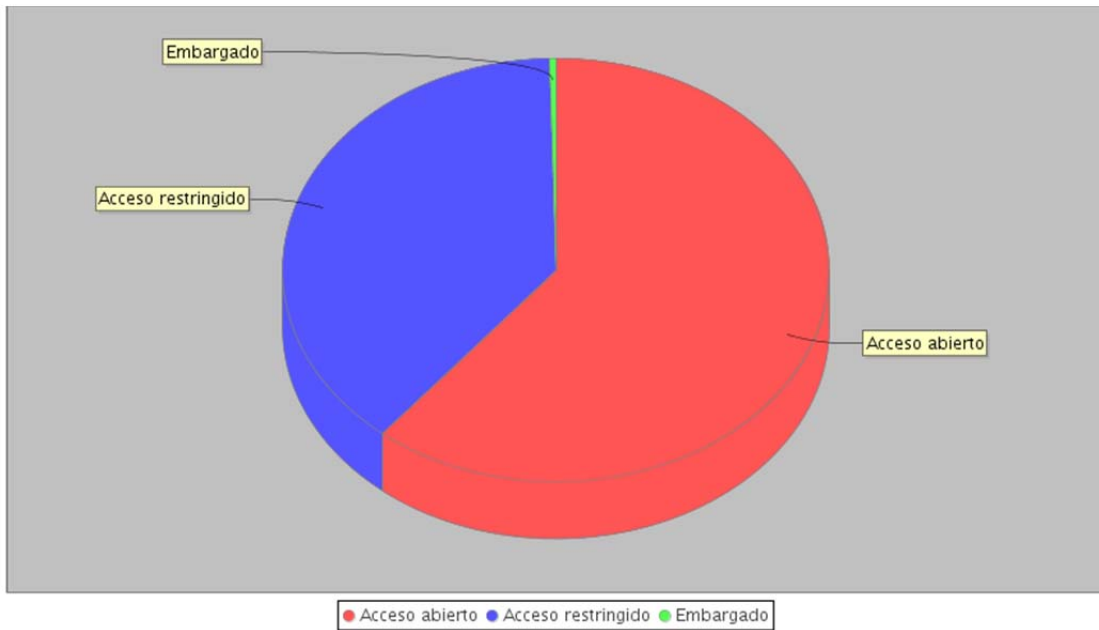


Gráfico 6. Porcentaje de registros en Digital CSIC por el tipo de accesibilidad en CFMAC-IEM

Total de visualizaciones y descargas desde la plataforma de Digital CSIC de los registros de CFMAC-IEM:

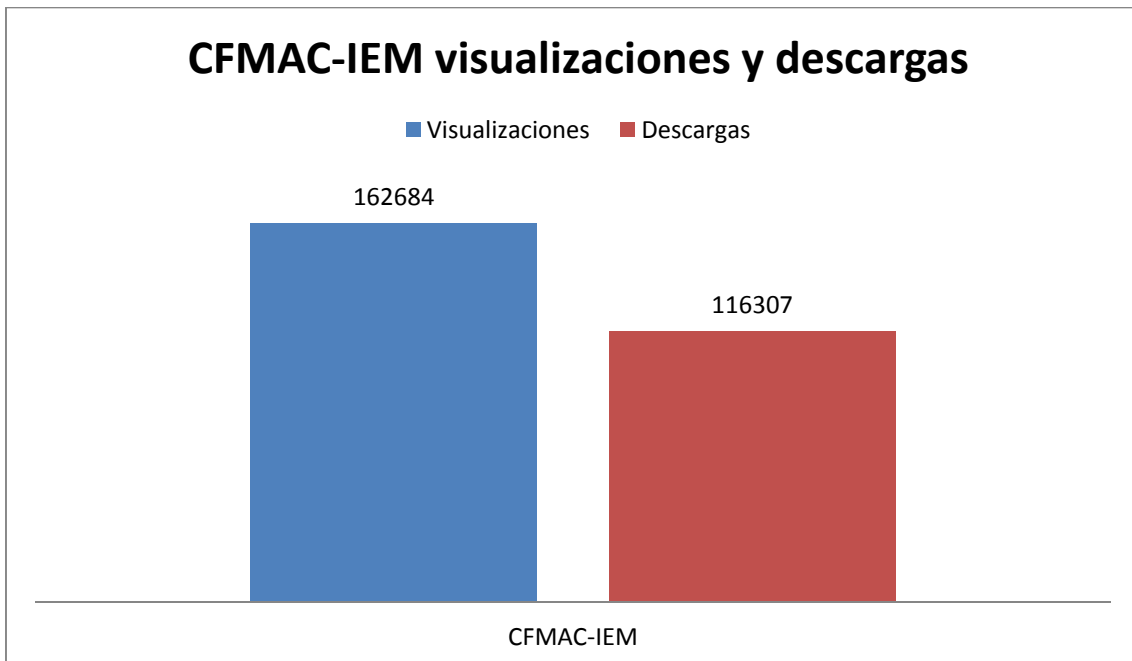


Gráfico 7. Número de visualizaciones y descargas de trabajos del CFMAC-IEM

Registros CFMAC-IEM más visualizados (TOP20)

Título	Visualizaciones
- La conservación de los geomateriales utilizados en el patrimonio	1628
- Emission Imaging of Pulsed Plasma Plumes Emerging Through a Transversal Hole in the Hollow Cathode of a DC Reactor	1166
- Warm Water Vapor around Sagittarius B2	1118
- Oxygen Chemistry in the Circumstellar Envelope of the Carbon-Rich Star IRC+10216	1006
- Los plasmas: de la aurora boreal al interior de una estrella, del tubo fluorescente al reactor de fusión	981
- The abundance of ^{36}S in IRC+10216 and its production in the Galaxy	810
- A ($e \rightarrow$, $e' p \rightarrow$)B responses: From bare nucleons to complex nuclei	804
- SERS en coloides	760
- α-particle production in the scattering of ^6He by Pb-208 at energies around the Coulomb barrier	760
- The t+n+n system and H-5	718
- Elucidating halo structure by β decay: ^8Be from the Li-11 decay	699
- X-ray scattering applied to the analysis of carbon nanotubes, polymers and nanocomposites	681
- Warm Molecular Hydrogen and Ionized Neon in the HH2 Outflow	669
- Espectroscopía Raman de nanotubos de carbono	658
- Los polímeros del siglo XXI	640
- Ab initio characterization of C5	632
- Mezcladora para todo tipo de polímeros termoplásticos con cargas u otro tipo de polímero	628
- Astrofísica Molecular: Caracterización de envolturas circumstelares y procesos colisionales en el laboratorio	616
- Ab initio dipole polarizability surfaces of water molecule: Static and dynamic at 514.5 nm	608
- Breve Introducción a la Física de los Materiales Poliméricos	604

Tabla 6. Documentos más visualizados en CFMAC-IEM

Registros CFMAC-IEM más descargados (TOP20)

Títulos	Descargas
- Espectroscopía Raman de nanotubos de carbono	4134
- Estructura Nuclear: A la búsqueda de los límites	3051
- SERS en coloides	2426
- X-ray scattering applied to the analysis of carbon nanotubes, polymers and nanocomposites	2135
- Breve Introducción a la Física de los Materiales Poliméricos	1926
- Los polímeros del siglo XXI	1899
- Emission Imaging of Pulsed Plasma Plumes Emerging Through a Transversal Hole in the Hollow Cathode of a DC Reactor	1442
- Tendencias recientes en espectroscopía molecular	1379
- Estrellas masivas	1376
- Espectroscopía vibracional sobre nanoestructuras metálicas (SERS y SEIR): nuevos sustratos y aplicaciones	1317
- Fotónica de plasmones superficiales en nanoestructuras metálicas	1179
- Functionalization of metal nanoparticles with synthetic and natural hosts for the surface-enhanced spectroscopic detection of polycyclic aromatic hydrocarbons	988
- Propiedades electrónicas de los nanotubos de carbono	930
- Relatividad general cuántica	854
- El núcleo : un viaje al centro de la materia	848
- Los plasmas: de la aurora boreal al interior de una estrella, del tubo fluorescente al reactor de fusión	769
- Detección de PAHs mediante espectroscopía SERS sobre superficies metálicas funcionalizadas con calixarenos	766
- From carbon nanostructures to new photoluminescence sources: an overview of new perspectives and emerging applications of low pressure PECVD	741
- Creando sistemas poliméricos nanolaminares: una ruta hacia la bidimensionalidad	734
- Local and anisotropic excitation of surface plasmon polaritons by semiconductor nanowires	705

Tabla 7. Documentos más descargados en CFMAC-IEM

[Volver](#)

INSTITUTO DE FISICA FUNDAMENTAL (CFMAC-IFF): 1445 Registros

Tipología	Total
Artículo	805
Comunicación de congreso	228
Pre-print	169
Póster	106
Capítulo de libro	26
Tesis	15
Presentación	11
Libro	9
Trabajo de divulgación	4
material didáctico	1
Proyecto fin de carrera	1
Solicitud de patente	1
Dataset	1

Tabla 8. Tipología documental registrada en CFMAC-IFF

Accesibilidad en Digital.CSIC de registros del CFMAC-IFF

Accesibilidad	Número de registros	Porcentaje
Acceso abierto	856	60,239%
Acceso restringido	558	39,268%
Embargado	7	0,493%

Tabla 9. Tipo de accesibilidad del total de trabajos registrados y su porcentaje en CFMAC-IFF

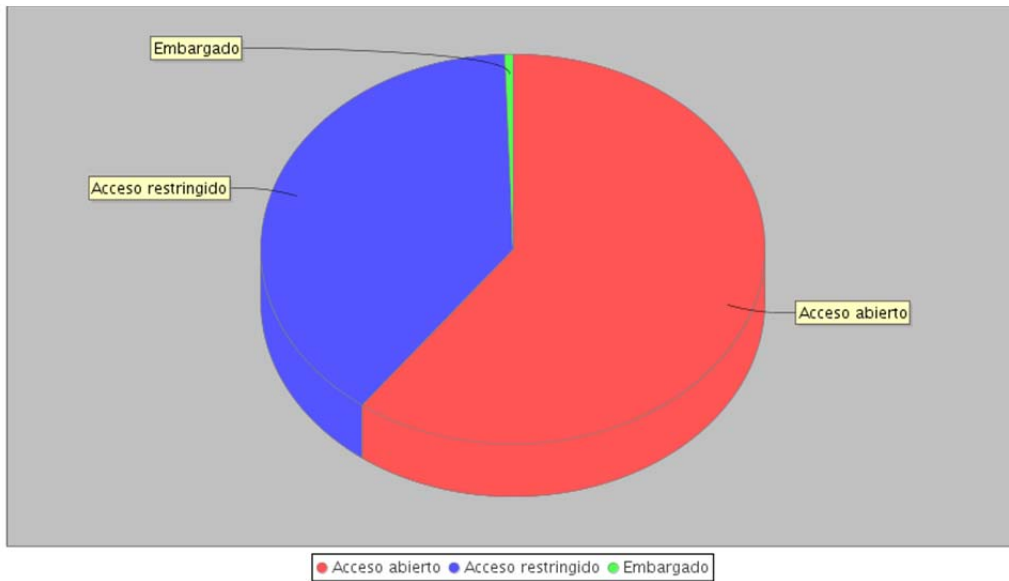


Gráfico 8. Porcentaje de registros en Digital CSIC por el tipo de accesibilidad en CFMAC-IFF

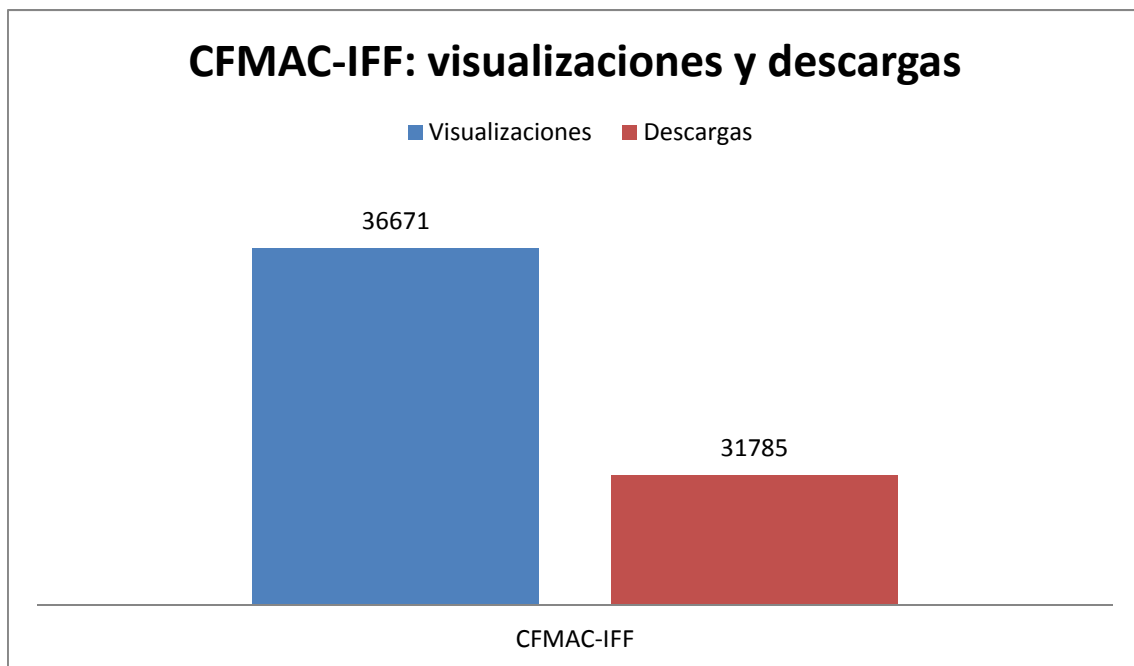


Gráfico 9. Número de visualizaciones y descargas de trabajos del CFMAC-IFF

Registros CFMAC-IFF más visualizados (TOP20)

Título	Visualizaciones
- Ab initio potential-energy surface for the reaction $\text{Ca}+\text{HCl} \rightarrow \text{CaCl}+\text{H}$	1047
- Ab initio potential energy surface and spectrum of the $\text{B}(3\Pi)$ state of the HeI_2 complex	858
- Ab initio vibrational predissociation dynamics of $\text{He-I}_2(\text{B})$ complex	835
- Ab initio ground state potential energy surfaces for Rg-Br_2 ($\text{Rg} = \text{He, Ne, Ar}$) complexes	691
- Ab initio calculations, potential representation and vibrational dynamics of He_2Br_2 van der Waals complex	664
- Measuring baryon acoustic oscillations along the line of sight with photometric redshifts: the PAU survey	579
- Molecular photoreactivity on metal-oxide surfaces from first-principles: photocatalysis and photovoltaics	481
- Presentación [del número monográfico de Arbor dedicado a «Einstein, la JAE y el nacimiento de la Física moderna en España»]	370
- $\text{F}+\text{OH}$ reactive collisions on new excited $3A''$ and $3A'$ potential-energy surfaces	358
- Towards the “soft-landing” adsorption of doped Helium nanodroplets: key role of the $\text{He-TiO}_2(110)$ interaction	340
- Homogeneous quaternionic Kähler structures on rank-three Alekseevsky spaces	339
- Accurate ab initio intermolecular potential energy surface for the quintet state of the $\text{O}_2(3\Sigma^-(g))\text{-O}_2((3)\Sigma^-(g))$ dimer	331
- Characterizing the complex hyperbolic space by Kähler homogeneous structures	326
- He_79Br_2 $\text{B}, v = 8_X, v'' = 0$ excitation spectrum: Ab initio prediction and spectroscopic manifestation of a linear isomer	318
- Dynamique réactionnelle et processus photoinitiés	315
- Stereodynamics and control effects in the ultraviolet photolysis of Ar-HBr	311
- Coupled diabatic potential energy surfaces for studying the nonadiabatic dynamics at conical intersections in angular resolved photodetachment simulations of $\text{OHF}^- \rightarrow \text{OHF}+\text{e}^-$	309
- Key role of spin-orbit effects in the relaxation of $\text{CO}_2(010)$ by thermal collisions with $\text{O}(3P_j)$	306
- Direct versus resonances mediated $\text{F}+\text{OH}$ collisions on a new $3A''$ potential energy surface	306
- Transition state dynamics of OHF on several electronic states: Photodetachment spectrum of OHF^- and conical intersections	306

Tabla 10. Documentos más visualizados en CFMAC-IFF

Registros CFMAC-IFF más descargados (TOP20)

Títulos	Descargas
- Molecular photoreactivity on metal-oxide surfaces from first-principles: photocatalysis and photovoltaics	995
- A survey on paracomplex geometry	838
- Homogeneous Riemannian Structures on Berger 3-Spheres	524
- Polar di-halogen molecules solvated in bosonic helium clusters: The paradigm of ICl(X)	482
- Ab initio potential-energy surface for the reaction $\text{Ca}+\text{HCl} \rightarrow \text{CaCl}+\text{H}$	476
- Reductive homogeneous pseudo-Riemannian manifolds	472
- Accurate ab initio intermolecular potential energy surface for the quintet state of the $\text{O}_2(3\Sigma^-(g))-\text{O}_2(3\Sigma^-(g))$ dimer	448
- Microwave Photon Detector in Circuit QED	442
- Homogeneous quaternionic Kahler structures on eight-dimensional non-compact quaternion-Kahler symmetric spaces	438
- Coordinate transformation methods to calculate state-to-state reaction probabilities with wave packet treatments	411
- Photodetection of propagating quantum microwaves in circuit QED	406
- Characterizing the complex hyperbolic space by Kähler homogeneous structures	392
- Dynamique réactionnelle et processus photoinitiés	390
- Energy deposition model for low-energy electrons (10–10 000 eV) in air	390
- Raman spectra of (He) _N -Br ₂ (X) clusters: The role of boson/fermion statistics in a quantum solvent	359
- Ab initio potential energy surface and spectrum of the B(3Π) state of the HeI ₂ complex	347
- Measuring baryon acoustic oscillations along the line of sight with photometric redshifts: the PAU survey	331
- Ab initio vibrational predissociation dynamics of He-I ₂ (B) complex	307
- On the classification theorems of almost-Hermitian or homogeneous Kähler structures	305
- Generation of atom-atom correlations inside and outside the mutual light cone	305

Tabla 11. Documentos más descargados en CFMAC-IFF

[Volver](#)

INSTITUTO DE ÓPTICA “DAZA DE VALDÉS” (CFMAC-IO): 1620 Registros

Tipología	Total
Artículo	1.350
Comunicación de congreso	119
Póster	61
Patente	18
Solicitud de patente	17
Tesis	6
Capítulo de libro	4
Pre-print	3
Presentación	2
Libro	2
Traducción de patente	1
Informe Técnico	1
Sitio web	1

Tabla 12. Tipología documental registrada en CFMAC-IO

Accesibilidad en Digital.CSIC de registros de CFMAC-IO

Accesibilidad	Número de registros	Porcentaje
Acceso abierto	829	51,491%
Acceso restringido	779	48,385%
Embargado	2	0,124%

Tabla 13. Tipo de accesibilidad del total de trabajos registrados y su porcentaje en CFMAC-IO

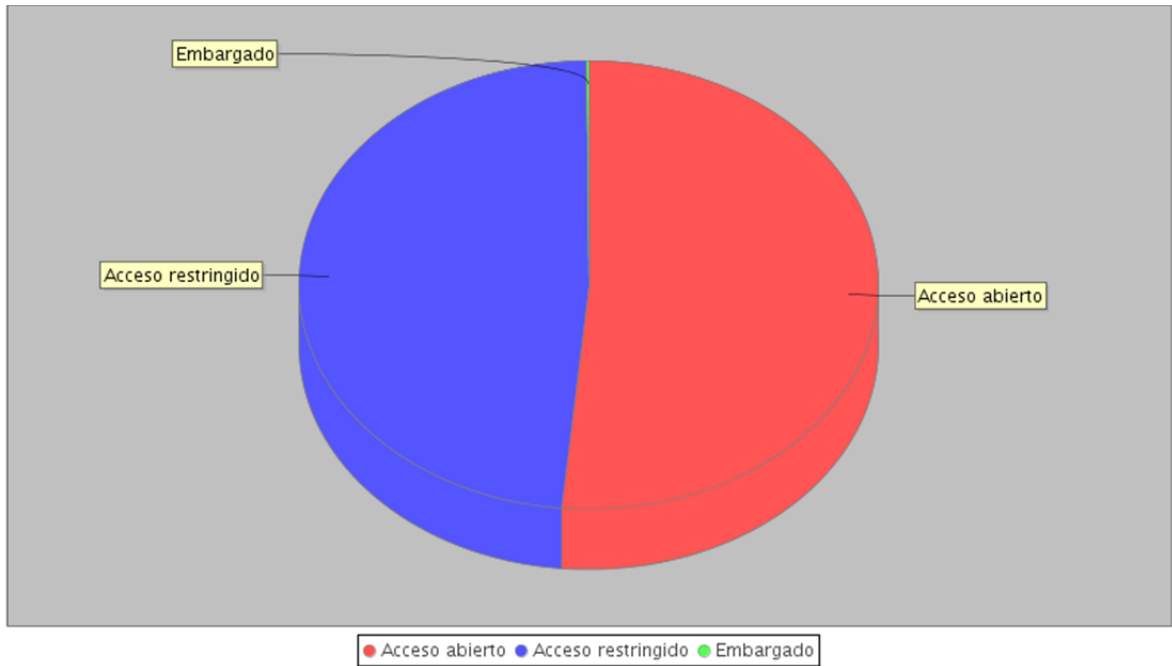


Gráfico 10. Porcentaje de registros en Digital CSIC por el tipo de accesibilidad en CFMAC-IO

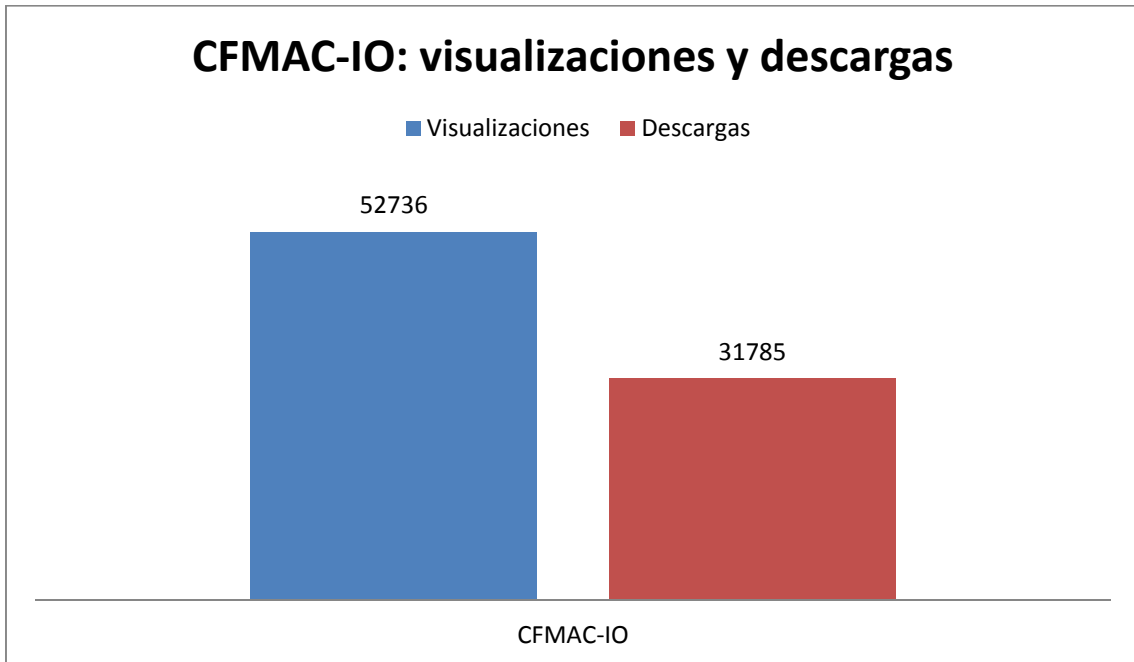


Gráfico 11. Número de visualizaciones y descargas de trabajos del CFMAC-IO

Registros CFMAC-IO más visualizados (TOP20)

Título	Visualizaciones
- Propiedades ópticas no lineales de nanocompuestos metal dieléctrico	973
- Aberrations and Visual Performance Following Standard Laser Vision Correction	935
- Aberrometry: the past, present and future of optometry	862
- El estado del arte de la óptica visual y su posible evolución futura	847
- Aberrations of the Human Eye in Visible and Near Infrared Illumination	754
- Laboratorio de Óptica Visual y Biofotónica, Instituto de Óptica (Consejo Superior de Investigaciones Científicas): logros recientes, líneas de investigación y direcciones futuras	695
- How to construct log-Gabor Filters?	665
- Aberrometry: clinical and research applications	664
- Validation of the Estimation of Corneal Aberrations From Videokeratography in Keratoconus	616
- Método de trazado de rayos con láser para control de calidad de lentes y sistemas ópticos en general	590
- New contributions to the multidimensional analysis of signals and images through the pseudo-Wigner Distribution	567
- Optical Quality and Depth-of-field of Eyes Implanted With Spherical and Aspheric Intraocular Lenses	560
- Optical quality of the cornea and the crystalline lens: Implementation of objective techniques and clinical applications	556
- New contributions on image fusion and compression based on space-frequency representations	553
- Investigación en Optica Fisiologica en España: Un repaso a los orígenes	526
- Pentacam Scheimpflug Quantative Imaging of the crystalline lens and intraocular lens	492
- Imaging the dissociation processs of O2 background gas during pulsed laser ablation of LiNbO3	462
- Nueva tecnología en cirugía refractiva y de cataratas: ¿hacia una optimización de la corrección?	452
- Balance of corneal horizontal coma by internal optics in eyes with intraocular artificial lenses: Evidence of a passive mechanism	421
- New contributions in overcomplete image representations inspired from the functional architecture of the visal cortex	420

Tabla 14. Documentos más visualizados en CFMAC-IO

Registros CFMAC-IO más descargados (TOP20)

Títulos	Descargas
- Optical quality of the cornea and the crystalline lens: Implementation of objective techniques and clinical applications	7004
- On-Eye Measurement of Optical Performance of Rigid Gas Permeable Contact Lenses Based on Ocular and Corneal Aberrometry	2519
- How to construct log-Gabor Filters?	1836
- New contributions in overcomplete image representations inspired from the functional architecture of the visual cortex	1575
- Propiedades ópticas no lineales de nanocompuestos metal dieléctrico	1482
- New contributions on image fusion and compression based on space-frequency representations	1265
- El estado del arte de la óptica visual y su posible evolución futura	1244
- Aberrations of the Human Eye in Visible and Near Infrared Illumination	1085
- Pulsed laser deposition of Cu:Al ₂ O ₃ nanocrystal thin films with high third-order optical susceptibility	1006
- Laboratorio de Óptica Visual y Biofotónica, Instituto de Óptica (Consejo Superior de Investigaciones Científicas): logros recientes, líneas de investigación y direcciones futuras	911
- Modulation transfer of the human eye as a function of retinal eccentricity	867
- Aberrometry: clinical and research applications	819
- Optical Quality and Depth-of-field of Eyes Implanted With Spherical and Aspheric Intraocular Lenses	812
- Detection of local defects in textile webs using Gabor filters	808
- Optical aberrations in ametropic eyes and their change with corneal refractive surgery	771
- From carbon nanostructures to new photoluminescence sources: an overview of new perspectives and emerging applications of low pressure PECVD	741
- Aberrations and Visual Performance Following Standard Laser Vision Correction	712
- Analytical tools for customized design of monofocal intraocular lenses	682
- Suitability of Filofacon A and PMMA for experimental models in excimer laser ablation refractive surgery	678
- Substrate-enhanced infrared near-field spectroscopy	642

Tabla 15. Documentos más descargados en CFMAC-IO

[Volver](#)

CONCLUSIONES

DIGITAL.CSIC organiza, preserva y difunde en acceso abierto los resultados de investigación del CSIC. Incrementa la visibilidad llegando a un mayor número de lectores lo que potencialmente se traduce en un aumento de citas a los trabajos. Ofrece además la posibilidad de formar parte de la iniciativa para que la comunidad científica facilite la comunicación científica y recupere en cierta medida el control sobre la difusión de sus propias publicaciones. Por último el repositorio sirve para cumplir y monitorizar con los mandatos de acceso abiertos a los que se sujetan los proyectos CSIC. Digital CSIC es el repositorio español que alberga el mayor porcentaje de artículos de revistas sujetos a la Ley de la Ciencia española.

Estos son los argumentos por lo que la Institución apuesta y la Biblioteca se suma al carro para formar parte de esta filosofía. El trabajo desarrollado desde la biblioteca continuará dando prioridad a esta actividad y quiere agradecer el trabajo desarrollado desde algunas secretarías de Departamento por su colaboración en el enriquecimiento de dicho Repositorio.